

## Madsen型の岸冲漂砂量

鳥取大学工学部 正員 野田英明

鳥取大学工学部 正員 黒岩正光

○(株)鴻池組 正員 岸田健二郎

1. はじめに 岸冲漂砂量は、現在Shields数を用いた公式が数多く提案されているが、これらの式は波の1周期に対する漂砂の方向を決定できないという欠点をもっている。したがって、その移動方向が明かでないと、海浜断面形状の地形変化を計算することができないことがある。本研究は、移動方向を考慮した岸冲漂砂量式を新たに提案し、Madsen型の漂砂量式と比較するとともに、地形変化の数値計算によって、その適用性を検討しようとするものである。

### 2. 岸冲漂砂量モデル

掃流漂砂量：無次元掃流漂砂量を底面流速の2乗に比例する最も単純な形で次のように仮定する。

$$\frac{\Delta q_s}{w_0 d} = K \frac{(u_b - u_c) |u_b - u_c|}{s g d} \quad (u_b > u_c) \quad (1)$$

ここに、 $\Delta q_s$ ：単位幅あたりの掃流漂砂量、 $w_0$ ：底質の沈降速度、 $d$ ：底質の粒径、 $s$ ：底質の水中比重、 $u_b$ ：底面流速、 $u_c$ ：底質の移動限界流速であり $u_c$ はKomer-Millerの関係式、

$$\frac{u_c^2}{s g d} = 0.21 \left( \frac{u_c T}{\pi d} \right)^{\frac{1}{2}}$$

を適用する。底面流速 $u_b$ は、ストークス第3近似解によって算定する。

$$u_b = u_{01} \cos \theta + u_{02} \cos 2\theta + u_{03} \cos 3\theta \quad (2)$$

ここに、 $u_{01} = C(ka)/\sinh kh$ 、 $u_{02} = C(3/4)(ka)^2/\sinh^2 kh$ 、 $u_{03} = C(3/64)(ka)^3(13-4\cosh 2kh)/\sinh^3 kh$ であり、 $C$ 、 $k$ 、 $a$ 、 $h$ はそれぞれ、波速、波数、振幅、水深である。

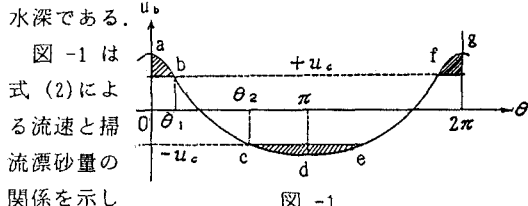


図-1

たものであり、岸冲方向に掃流砂が発生している位相に関して式(1)を積分すれば波の一周期における正味の平均掃流漂砂量 $q_s$ は次のようになる。

$$\frac{q_s}{w_0 d} = \frac{1}{2\pi} \int_0^{2\pi} \frac{\Delta q_s}{w_0 d} d\theta \quad (3)$$

$$= \frac{K}{\pi} \left[ \int_0^{\theta_1} \frac{(u_b - u_c)^2}{s g d} d\theta - \int_{\theta_2}^{\pi} \frac{(u_b + u_c)^2}{s g d} d\theta \right]$$

この式の計算結果は全て岸向きである。

浮遊漂砂量：浮遊漂砂量は野田・松原の式を適用する。ただし、この式は全て沖向き漂砂量を表す。

$$\frac{q_s}{w_0 d} = \beta (v^2 + (2-v_c)v + 1 - v_c) \times \left( \frac{u_{01}}{\sqrt{s g d}} \right)^3 \quad (4)$$

ここに、 $\beta$ は実験によって求まる定数である。

以上の考察から、掃流漂砂量と浮遊漂砂量とを加えた単位幅当たりの正味の全漂砂量 $q_s$ は、式(3)および式(4)から次式のようになる。

$$\frac{q_s}{w_0 d} = \frac{q_s}{w_0 d} + \frac{q_s}{w_0 d}$$

図-2は式(3)とShields数との関係を示したものであり、Madsen-Grantおよび渡辺による漂砂量式も合わせて示してある。なお、Shields数に含まれる摩擦係数はSwartの近似式で算定した。図から式(3)はMadsen型の漂砂量式と同様の傾向を示すことがわかる。また若干の考察により、式(3)はShields数のみではなく $d/sL$ の関数であることが明かとなり、従来の実験結果のパラメータは、このパラメータで整理できるようである。

### 3. 二次元海浜変形に関する数値計算法

波浪変形計算は便宜的に次の方法による。

碎波前：

$$H/H_0 = [ \{ 1 + 2kh / \sinh(2kh) \} \tanh(kh) ]^{-1/2}$$

碎波後：

$$H = 0.827h$$

平均水位上昇量：

$$dS_{xx}/dx + \rho g(h + \bar{\eta}) d\bar{\eta}/dx = 0$$

実水深( $d=h+\bar{\eta}$ )に対応する波高を計算し、これらを用いて漂砂量を、また漂砂の連続式を差分化して地形変化を計算する。なお差分間隔は試行的に $\Delta x=10\text{cm}$ 、 $\Delta t=30\text{sec}$ とした。

4. 計算結果および考察 表-1は実験結果に対応した計算条件を示す。各漂砂量係数は表に示すように5種類づつ組み合わせて計算した。現段階では地形変化を厳密に再現することは不可能であるため全体的にみてオーダー的・傾向的に妥当であると思われる係数の組合せを主観的に判断して結果を整理した。図-4は、それらの各漂砂量係数の関係を示したものである。図より各漂砂量係数はケースごとに異なり、従来のように各漂砂量係数は常に一定として取り扱えないことが明かとなつた。さらに、図中の点線は侵食型と堆積型の地形変化を分ける限界のようである。図-5は $-K/\beta$ と堀川らによる指標Cをとって体積型と侵食型の限界を調べたものであり、堆積型の地形変化を再現するためには $-K/\beta$ の値をかなり大きく設定しなければならないことがわかる。

#### 5. おわりに 本研究で提案した岸冲漂砂量モデル

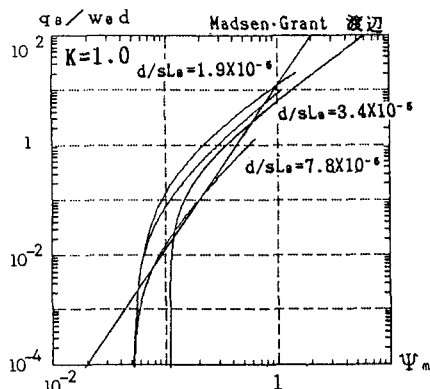


図-2

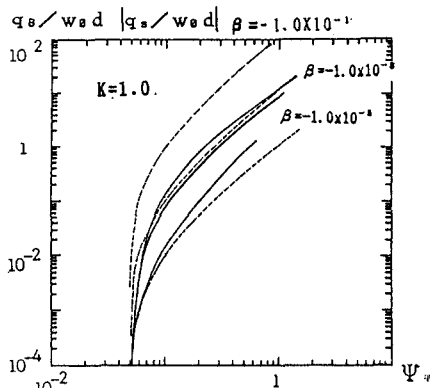


図-3

	沖波波高 (cm)	周期 (sec)	粒径 (cm)	漂砂量係数
CASE1	4.92	1.2	0.017	
CASE2	3.83	1.2	0.017	
CASE3	9.80	1.2	0.017	
CASE4	3.83	1.2	0.035	

各ケースについて  
 $K = 1.0 \times 10^{-5} \sim 1.0 \times 10^{-1}$   
 $\beta = -1.0 \times 10^{-4} \sim 1.0 \times 10^{-2}$

表-1

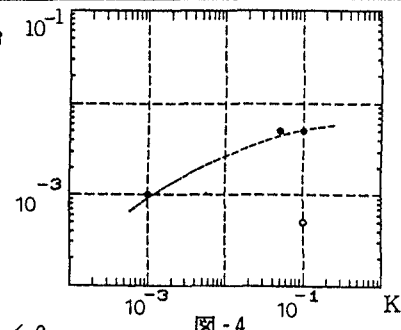


図-4

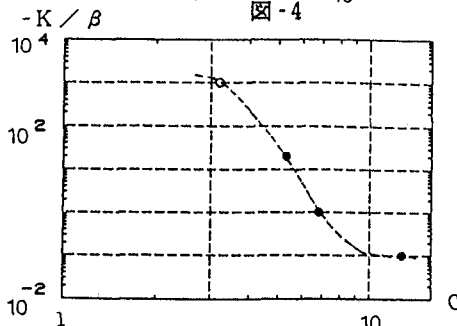


図-5